

臨界角入射波動の差分解析について

広島大学工学部 正員 佐藤 誠

1. まえがき

弾性半無限領域内の平面波の伝播挙動は、たとえばすべての実体調和波の入射に対する反射係数または応答倍率の形で示され、理論的に明らかである。しかししながら非調和波の入射に対する過渡応答問題にすら場合には、入射波の性質と入射角によつては応答を正確に求め得ない場合もある。その一つに非調和を平面Sア波が臨界角を越えて入射する場合がある。この場合の応答は理論的には振動数応答関数の位相変化、数値解においては入射角の変化に対して応答倍率が急変するなどの現象的特異性があり、それそれを解析上の困難さがある。

こゝでは衝撃的なパルス波形を持つ平面Sア波が半平面の自由境界に臨界角附近で入射する場合の自由境界の応答を対象にし、動光弾性実験による応答、波動方程式の差分解による応答、および振動数領域解を用いた応答の関係を検討する。

2. 動光弾性実験結果と差分解

写真-1に図-1に示す形の平面Sア波パルスが、臨界角 $\gamma_c = 34^\circ$ で模型板の直線自由縁に対して入射角 $\gamma = 36.4^\circ$ で入射した場合の、動光弾性実験により得られた等色線図模様の一連の応答例を示す。各駆け間隔は $12.5 \mu\text{sec}$ である。等色線図模様は等主応力差線と同じ意味を持つから、以下では便宜上この線上の値を最大せん断応力(T_{max})と考えて用いる。

動光弾性実験では平面波を走行荷重法により発生させるため、写真-1には同時に発生し先行する平面P波による反射Sア波も一部覗われている。写真の視野内で右上りの直線状の縞が入射Sア波面であり、その右側の右下りの直線状の縞がこれによる反射Sア波面である。

今の場合臨界角を越えて入射するから入射Sア波による反射P波は存在せず、代わりに入射Sア波と反射Sア波に挟まれた境界附近に見える同心円状の縞模様として表面波が存在している。この同心円状の縞は中心に向って T_{max} が大きくなり、最大の T_{max} は自由境界にならないことがわかる。

図-2は写真-1の $12.5 \mu\text{sec}$ での境界上の縞の次数から読み取った T_{max} の分布を示す。 $d = 6 \text{ cm}$ より左の値は先行するP波によるもので、これが右の鋭いピークを持つ部分が入射Sア波による応答である。ピークの値は後述する理論解の値よりも小さくなり、入射Sア波単独の応答ではないことを考えられる。

図-3(a), (b)はそれぞれ差分解析による最大せん断応力線図と粒子速度ベクトル図である。

差分解析は図-3(a)に示す直角三角形ABCを解析領域とし辺AB, ACを自由境界とした。斜辺BCは図-1のSV入射パルスと等価な複合パルスと想定しており、辺AB, ACへの入射角はそれぞれ 53.6° および 36.4° となる。

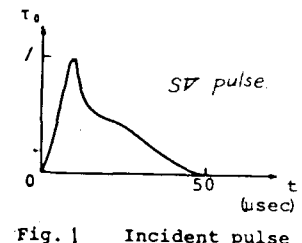


Fig. 1 Incident pulse

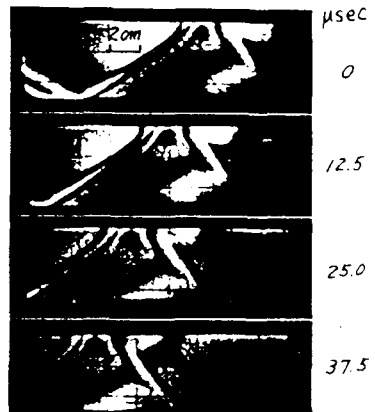


Photo. 1 Isochromatic fringe patterns

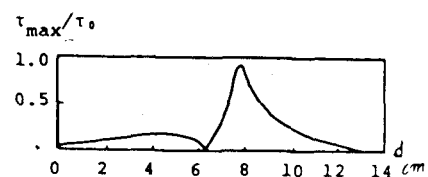
Fig. 2 Dynamic photoelastic response on free surface ($\gamma=36.4^\circ, t=12.5 \mu\text{sec}$)

図-3 (a) の AC 辺上のり卓の近傍における入射、反射 S 波面およびこれらの中間に存在する同心円状の模様は写真-1 の縦模様と極めて良く一致している。ただし E 点近傍の模様は差分解析上 C 点より入力変化を示すために発生した表面波によるものである。AB 辺上の F, G 点近傍の応答も入射角が異なりだけで AC 辺上の応答に対応する。

図-3 (b) は (a) 同じ時間 ($80 \mu\text{sec}$) での差分格子点の粒子速度ベクトルである。この図からも入射、反射波面が明瞭であり、こゝには示さなかったが場合によつては等最大せん断応力線図より一層波動挙動を明確に視覚化できき。

3. 自由境界の応答

図-4 は図-3 に示した差分解の自由境界上 τ_{\max}/v_0 と v_z/v_0 の分布と入射パルスに対する比 (T_0, V_0) を直次元化して示す。尚 V_0, V_x は x, z 方向の速度成分である。 $d = 12 \text{ cm}$ 付近で前述の C 点からの表面波のために正しい応答を示さないが、これはほぼ入射パルスを保ち、 $T_{\max} (\propto V_x)$ は破綻で示す入射パルスに先行し、しかも著しく応答波形が変化している。

図-5 は調和波に対する理論解から Fourier 逆変換により、図-1 の入射パルスに対する自由境界の時刻歴応答を求めた結果である。この場合後続のゼロは入射パルス長の約 9 倍といふ。

自由境界の粒子速度 \bar{V}_a ($a = x, z$) は円振動数 ω のとき P_s と ω と γ で

$$\bar{V}_a = V_a^* \exp[i\omega(px - t - \varphi_a/\omega)]$$

と書けよう。ここで V_a^* は振幅の絶対値 $2\pi/\omega$ で φ_a は偏角である。

入射角が臨界角を越えたり $\varphi_x < 0, \varphi_z > 0$ となり、 \bar{V}_x の位相は進む \bar{V}_z の位相は遅れる。シフトした図-5 に示す応答となり、図-4 の差分解の応答はこれらの応答特性を示している。ただし理論解には $20 \mu\text{sec}$ から $70 \mu\text{sec}$ 成分を含むため、位相が現象より極めて大きく進む応答を示している。

1) 藩藤誠, 動的弾性実験による新しい断層模型の確立, 第3回全国大会 T-320, 2) K.Aki et al, Quantitative Seismology, Vol. I, pp. 123~142

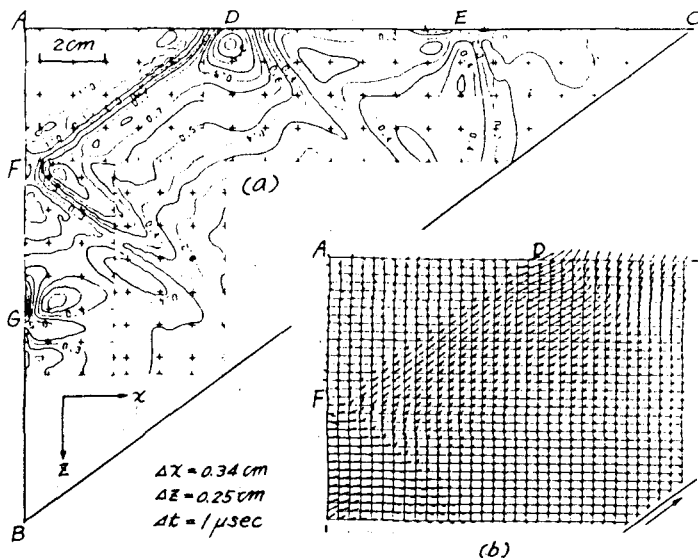


Fig. 3 (a) Equi-maximum shearing stress lines, (b) Particle velocity vectors ($\gamma=36.4^\circ, t=80 \mu\text{sec}$)

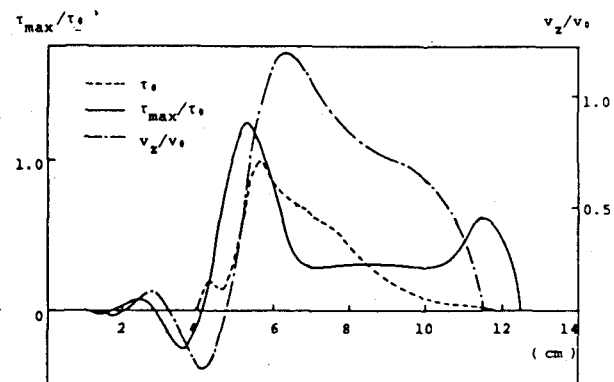


Fig. 4 Calculated responses of τ_{\max} and v_z on free surface ($\gamma=36.4^\circ$)

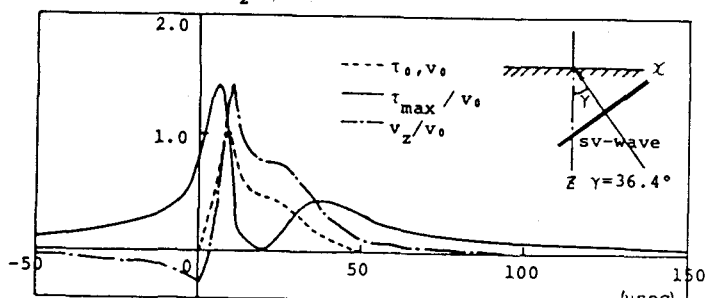


Fig. 5 Theoretical responses of τ_{\max} and v_z to 3V-wave incidence on free surface ($\gamma=36.4^\circ$)